

## บทที่ 4

### ผลการวิเคราะห์ข้อมูล

กระบวนการโพโตคณะไอลซิสประกอบด้วยส่วนประกอบหลักสามัญ 2 ส่วน ได้แก่ ตัวเร่งปฏิกิริยา และพลังงานแสง โดยการศึกษาในครั้งนี้แบ่งการทดลองออกเป็น 2 ขั้นตอนคือ (1) การสังเคราะห์ทั้งสเตนไตรออกไซด์เป็นตัวเร่งปฏิกิริยา และ (2) การศึกษาปฏิกิริยาโพโตคณะไอลซิสเพื่อการกำจัดก๊าซคาร์บอนมอนอกไซด์โดยใช้ทั้งสเตนไตรออกไซด์เป็นตัวเร่งปฏิกิริยา โดยในบทนี้จะนำเสนอผลการศึกษาการสังเคราะห์ทั้งสเตนไตรออกไซด์ด้วยวิธีแอนโโนไคลเซชัน เพื่อวิเคราะห์ลักษณะพื้นผิวออกไซด์ที่เกิดขึ้น แล้วนำมาใช้เป็นตัวเร่งปฏิกิริยาในกระบวนการโพโตคณะไอลซิส โดยพิจารณาถึงประสิทธิภาพการกำจัดก๊าซคาร์บอนมอนอกไซด์ที่เกิดจากผลกระทบของปัจจัยต่างๆ ได้แก่ ตัวเร่งปฏิกิริยาที่ถูกเตรียมที่ระยะเวลาที่แตกต่างกัน (1 2 4 และ 6 ชั่วโมง) แหล่งกำเนิดแสง (ญี่วีโอ และวิสิเบิล) และค่าความเข้มข้นเริ่มต้นของก๊าซคาร์บอนมอนอกไซด์ (50 100 200 300 400 และ 500 พีเอ็ม) เป็นต้น รวมทั้งศึกษาค่าจานพลศาสตร์โดยใช้สมการແลงเมียร์-อินเชลวูดในการอธิบายการย่อยสลายก๊าซคาร์บอนมอนอกไซด์เพื่อนำมาประยุกต์ใช้เป็นข้อมูลพื้นฐานในการพิจารณาเป็นแนวทางเลือกใช้ในการนำบัมเพิฟอากาศต่อไป

#### 4.1 การสังเคราะห์ทั้งสเตนไตรออกไซด์ด้วยวิธีแอนโโนไคลเซชัน

##### 4.1.1 การวิเคราะห์ลักษณะพื้นผิวออกไซด์

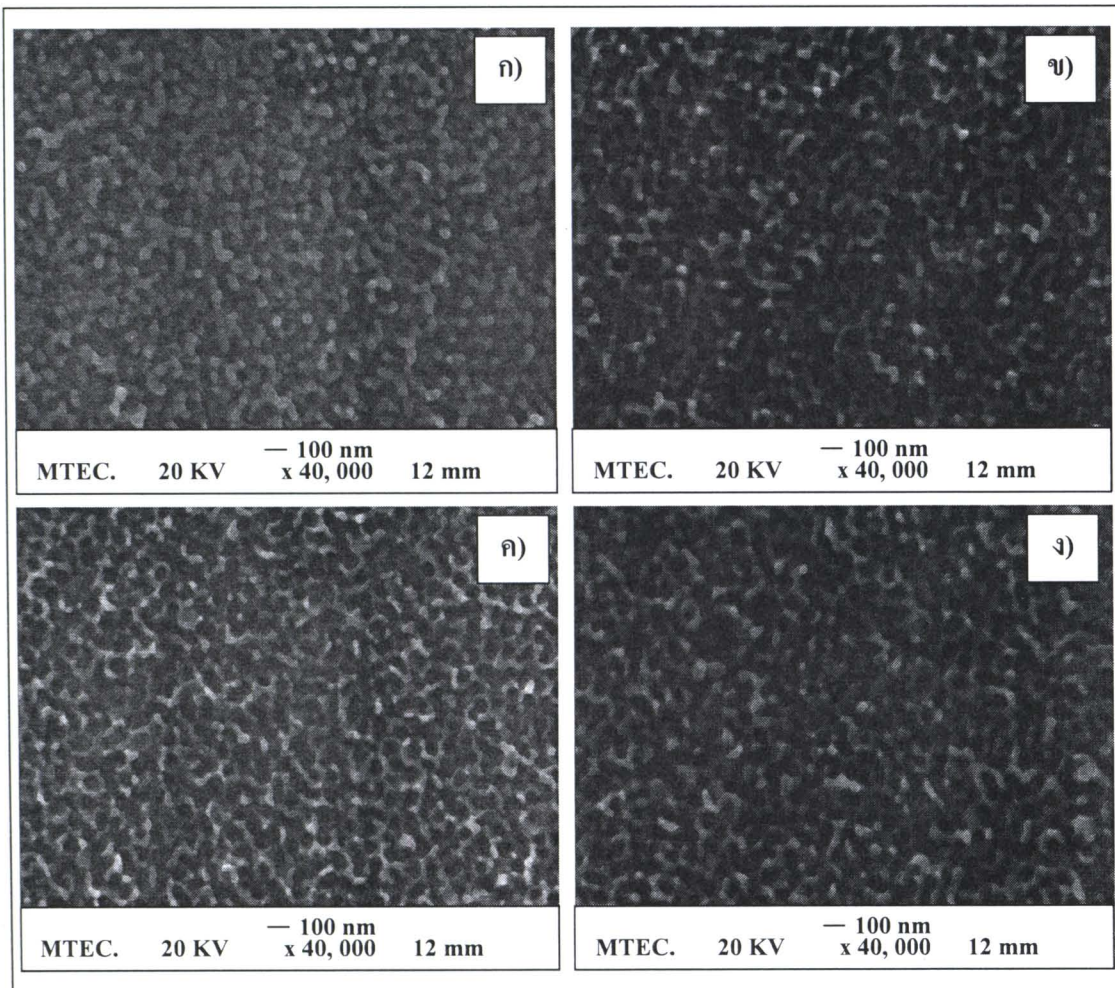
รูปที่ 4.1 ก-ง แสดงภาพถ่ายจากกล้องจุลทรรศน์อิเล็กตรอนแบบส่องรراด ที่ใช้กำลังขยาย 40,000 เท่า เพื่อดูลักษณะออกไซด์บนพื้นผิวทั้งสเตนที่ผ่านการสังเคราะห์ด้วยวิธีแอนโโนไคลเซชันในสารละลายโซเดียมฟลูออไรด์ความเข้มข้น 0.15 โนมาร์ โดยกำหนดค่าความต่างศักยภาพที่ 45 โวลต์ และเปลี่ยนระยะเวลาการแอนโโนไคลเซชันที่แตกต่างกันที่ 1 2 4 และ 6 ชั่วโมง ตามลำดับ พบว่า ในทุกสภาพการทดลองก่อให้เกิดออกไซด์บนพื้นผิวทั้งสเตนที่มีลักษณะเป็นโครงสร้างพรุนขนาดนาโนเมตร รูปที่ 4.1 ก แสดงลักษณะออกไซด์ที่เกิดขึ้นจากการะยะเวลาการ แอนโโนไคลเซชัน 1 ชั่วโมง จะสังเกตุเห็นว่าออกไซด์ที่เกิดขึ้นยังมีลักษณะโครงสร้างพรุนที่ยังไม่เต็มรูปแบบ และยังมีการกระจายตัวแบบเบาบาง ในขณะที่รูปที่ 4.1 ข-ง แสดงลักษณะออกไซด์ที่เกิดจากการะยะเวลาในการแอนโโนไคลเซชันที่ 2 4 และ 6 ชั่วโมง ตามลำดับ พบว่าเกิดเป็นออกไซด์ที่มีลักษณะโครงสร้างพรุนขนาดนาโนเมตรกระจายตัวอย่างสม่ำเสมอทั่วทั้งแผ่น มีขนาดของความพรุนประมาณ 50-100 นาโนเมตร ซึ่งสอดคล้องกับการศึกษาของ Tsuchiya et al. (2005) โดยใช้วิธีแอนโโนไคลเซชันในการสังเคราะห์

หังสเตน ไตรออกไซด์ ผ่านแผ่นหังสเตนบริสุทธิ์ในสารละลายน้ำเดี่ยมฟลูออไรด์ พบร่วมกับไชค์ที่เกิดขึ้นบนพื้นผิวมีลักษณะเป็นโครงสร้างพรุนขนาดนาโนเมตร มีขนาดของความพรุนประมาณ 100 นาโนเมตร ต่อมาก Guo *et al.* (2007) ได้ศึกษาโดยใช้วิธีแอกโนไดเซชันในการสังเคราะห์หังสเตนไตรออกไซด์เข่นกัน ในสารละลายน้ำเดี่ยมฟลูออไรด์ ความเข้มข้น 0.2 % และไฮโดรฟลูออเริคความเข้มข้น 0.3 % ผสมกันในอัตราส่วน 1:1 ที่ค่าความต่างศักย์ 60 โวลต์ เป็นระยะเวลา 60 นาที จะก่อให้เกิดความพรุนที่มีขนาดประมาณ 70 นาโนเมตร นอกจากนั้น Hahn *et al.* (2007) ได้ศึกษาวิธีแอกโนไดเซชันในสารละลายน้ำที่ปราศจากฟลูออไรด์ โดยใช้ไฮเปอร์คลอริก และไฮเดียมเปอร์คลอรีตแทน พบร่วมกับไชค์ที่เกิดขึ้นบนพื้นผิวมีลักษณะเป็นรูขนาดประมาณ 30-50 นาโนเมตร ค่าความเข้มข้น ซึ่งการเกิดความพรุนจำนวนมากจะส่งผลให้มีพื้นที่ผิวออกไชค์เพิ่มมากขึ้นด้วย โดยคาดว่าจะทำให้มีพื้นที่ในการเกิดปฏิกิริยาไฟโตคະตะไลซิสได้มากขึ้น จะสังเกตเห็นว่าเมื่อกำหนดสภาพในการแอกโนไดเซชันให้นานขึ้นจะทำให้พื้นผิวออกไชค์มีลักษณะโล่งกว่าเดิม จึงสอดคล้องกับงานวิจัยของ Watcharenwong *et al.* (2008) ที่พบร่วมระยะเวลาในการแอกโนไดเซชันมีผลต่อลักษณะพื้นผิวออกไชค์ที่เกิดขึ้นบนพื้นผิวนานาแห่งหังสเตน โดยจะมีความหนาของชั้นออกไชค์เพิ่มขึ้น และเกิดความพรุนที่ลึกมากขึ้นตามระยะเวลาที่ใช้ในการแอกโนไดเซชัน

#### 4.1.2 วิเคราะห์การตอบสนองปฏิกิริยาไฟฟ้าเคมีแสง

ประสิทธิภาพการตอบสนองปฏิกิริยาไฟฟ้าเคมีแสงของตัวเร่งปฏิกิริยา สามารถนำมาใช้เป็นตัวบ่งชี้ถึงคุณภาพของปฏิกิริยาไฟโตคະตะไลซิสได้ในทางอ้อม (Baeck *et al.*, 2003) จึงเลือกใช้วิธีการวิเคราะห์การตอบสนองปฏิกิริยาไฟฟ้าเคมีแสง เพื่อนำมาใช้ในการอธิบายความสามารถของตัวเร่งปฏิกิริยาหังสเตน ไตรออกไซด์ในการตอบสนองต่อแหล่งกำเนิดแสง โดยใช้วิธีการวัดอิเล็กตรอนที่เกิดขึ้นในรูปของกระแสไฟฟ้า หลังจากการฉายแสงผ่านตัวเร่งปฏิกิริยาหังสเตน ไตรออกไซด์ที่ผ่านการสังเคราะห์ด้วยวิธีแอกโนไดเซชันในสารละลายน้ำเดี่ยมฟลูออไรด์ 0.15 มิลลาร์ที่ความต่างศักย์ 45 โวลต์ โดยเปรียบเทียบระยะเวลาที่เหมาะสมในการทดลองที่ 1, 2, 4 และ 6 ชั่วโมง ตามลำดับ เพื่อนำมาใช้เป็นตัวแทนในการวัดความสามารถของหังสเตน ไตรออกไซด์ในการปลดปล่อยอิเล็กตรอน เมื่อได้รับการกระตุ้นจากการฉายแสง โดยเปรียบเทียบค่ากระแสไฟฟ้าที่ค่าความต่างศักย์ 1.2 โวลต์ หลังจากกระตุ้นให้เกิดปฏิกิริยาไฟฟ้าเคมีแสง แสดงดังตารางที่ 4.1 และรูปที่ 4.2 พบร่วมที่สภาวะการทดลองแอกโนไดเซชันในสารละลายน้ำเดี่ยมฟลูออไรด์ ความเข้มข้น 0.15 มิลลาร์ ที่ความต่างศักย์ 45 โวลต์ เป็นเวลา 2 ชั่วโมง มีค่ากระแสไฟฟ้ามากที่สุดเท่ากับ 0.103 มิลลิแอมป์แปรร์ต่อตารางเซนติเมตร ทั้งที่ใช้เวลาในการแอกโนไดเซชันน้อยกว่าที่ 4 และ 6 ชั่วโมง ซึ่งเกิดกระแสไฟฟ้า 0.076 และ 0.065 มิลลิแอมป์แปรร์ต่อตารางเซนติเมตร ตามลำดับ ทั้งที่ก่อให้เกิดออกไชค์บนพื้นผิวที่มีลักษณะพรุนลึกมากกว่าที่ระยะเวลาแอกโนไดเซชัน 2 ชั่วโมง แต่กลับมี

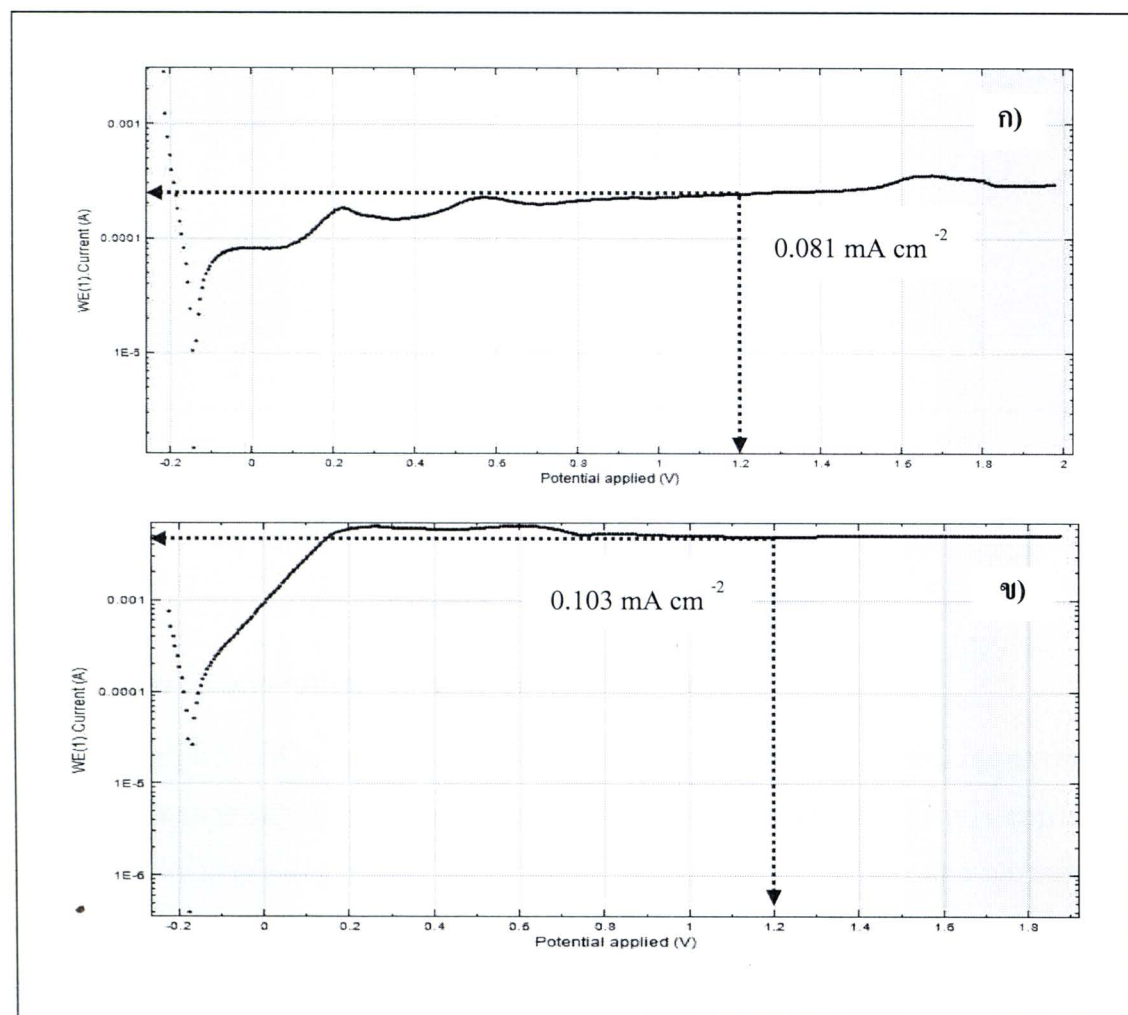
กระแสงไฟฟ้ามากที่สุด ซึ่งสอดคล้องกับการศึกษาของ Watcharenwong *et al.* (2008) อธิบายว่าการใช้ระยะเวลาออนไลน์ได้เช่นเป็นเวลานาน ส่งผลให้ความพรุนที่เกิดขึ้นเรียงตัวกันอย่างไม่เป็นระเบียบ และเกิดเป็นความพรุนที่ซับซ้อนกัดกร่อนลึกลงไปในวัสดุปูลูก ซึ่งลักษณะที่เกิดขึ้นดังกล่าวอาจเป็นสาเหตุที่ทำให้พื้นที่ผิวออกไซด์บางส่วนที่อยู่ลึกลงไปด้านในไม่ได้รับการฉายแสง เนื่องจากเกิดการบดบังแสงกันเองของผิวออกไซด์บนแผ่นหังสตeten ไตรออกไซด์ส่งผลให้ค่ากระแสงไฟฟ้าลดน้อยลง เมื่อใช้เวลาในการออนไลน์ได้เช่นนานขึ้น



\*รูปที่ 4.1 ภาพถ่าย SEM ของพื้นผิวหังสตeten ไตรออกไซด์ผ่านการออนไลน์ได้เช่นในสารละลายโซเดียมฟลูออไรด์ 0.15 โมลาร์ ที่ 45 วินาที เป็นเวลา; ก) 1 ข) 2 ค) 4 และ จ) 6 ชั่วโมง

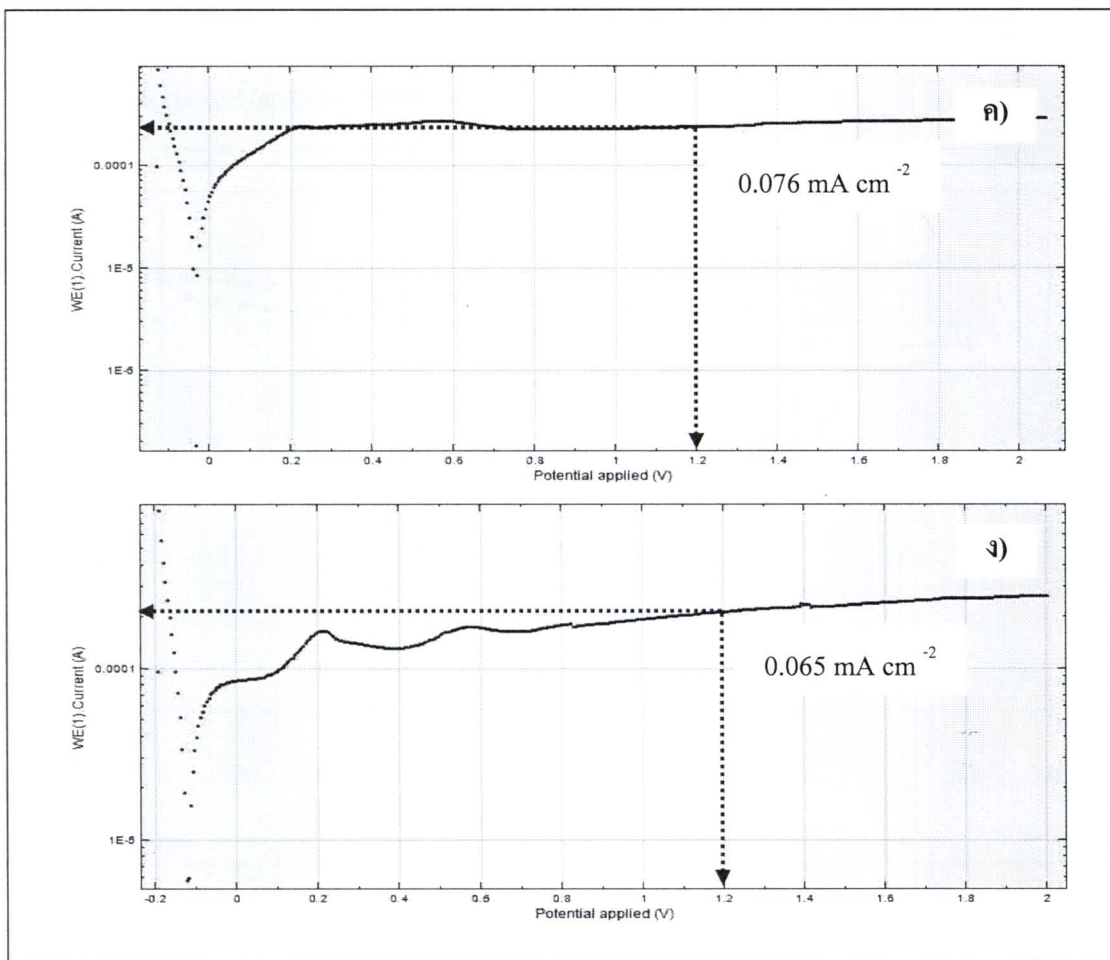
ตารางที่ 4.1 ผลการวิเคราะห์การตอบสนองปฏิกิริยาไฟฟ้าเคมีแสงเพื่อวัดกระแสไฟฟ้าในสารละลายน้ำเดี่ยมซัลเฟตความเข้มข้น 0.5 มิลาร์ ที่ 1.2 โวลต์

สารละลายน้ำเดี่ยมฟลูออิรด์ 0.15 มิลาร์	ความต่างศักย์, ระยะเวลา	Photocurrent density @ 1.2 V (มิลลิแอมป์เปอร์ต่อตารางเซนติเมตร)
45 โวลต์, 1 ชั่วโมง	45 โวลต์, 1 ชั่วโมง	0.081
	45 โวลต์, 2 ชั่วโมง	0.103
	45 โวลต์, 4 ชั่วโมง	0.076
	45 โวลต์, 6 ชั่วโมง	0.065



รูปที่ 4.2 ค่า Photocurrent density ที่เกิดจากทั้งสeten ไตรออกไซด์ที่ผ่านการแอกโนไดเซ็นในสารละลายน้ำเดี่ยมฟลูออิรด์ความเข้มข้น 0.15 มิลาร์ ที่ 45 โวลต์ เป็นเวลา

ก) 1 ข) 2 ค) 4 และ ง) 6 ชั่วโมง

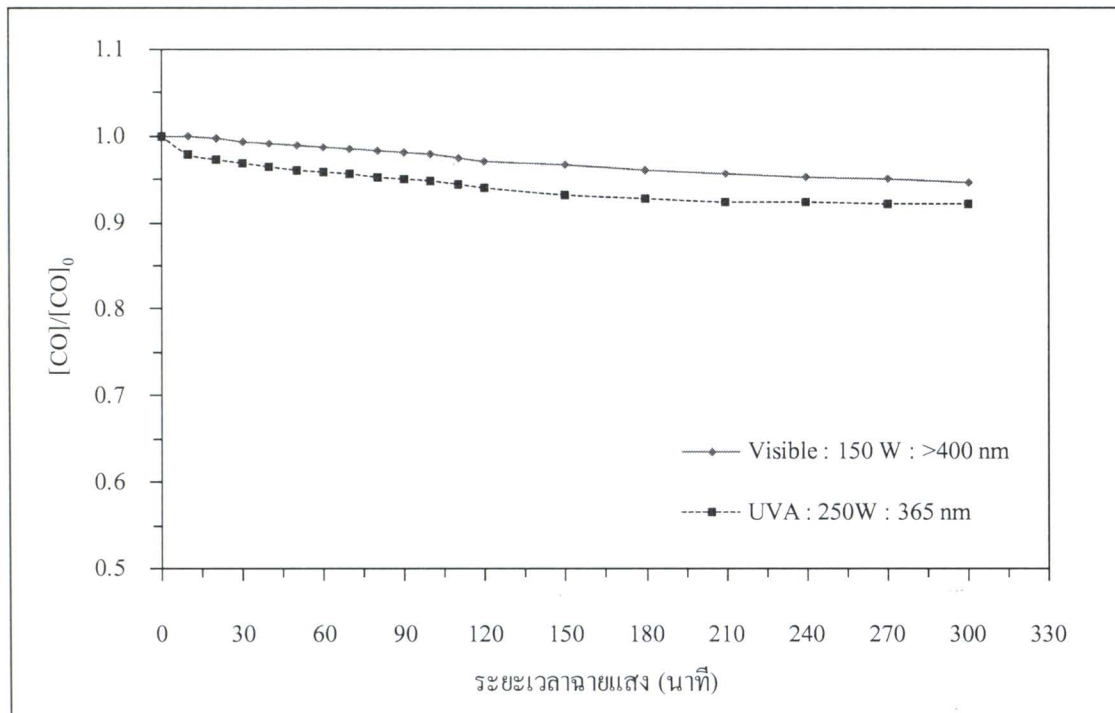


รูปที่ 4.2 ค่า Photocurrent density ที่เกิดจากห้องสแตนไตรอออกไซด์ที่ผ่านการ Yao โน๊ಡิเซชันในสารละลาย โซเดียมฟลูออไรด์ความเข้มข้น 0.15 โมลาร์ ที่ 45 วอ�ต์ เป็นเวลา;  
ก) 1, ง) 2, ก) 4, และ ง) 6 ชั่วโมง (ต่อ)

#### 4.2 ปฏิกิริยาไฟโตไอลซิสเพื่อการนำบัดก้าชคาร์บอนมอนอกไซด์

ศึกษาปฏิกิริยาไฟโตไอลซิสเพื่อการนำบัดก้าชคาร์บอนมอนอกไซด์ ซึ่งใช้เป็นชุดการทดลอง ควบคุม โดยอาศัยหลักการฉายแสงเพียงอย่างเดียว ไม่มีตัวเร่งปฏิกิริยาอยู่ภายในระบบ และ แปรเปลี่ยนแหล่งกำเนิดแสง 2 แหล่ง ได้แก่ ยูวี/o (Mercury lamp ขนาด 250 วัตต์) ที่ความยาวคลื่น 365 นาโนเมตร หรือแสงวิสิเบิล (Halogen lamp ขนาด 150 วัตต์) ที่ความยาวคลื่นมากกว่า 400 นาโนเมตร กำหนดค่าความเข้มข้นเริ่มต้นของก้าชคาร์บอนมอนอกไซด์ที่ 200 พีพีเอ็ม โดยทำการทดลองในโถกรองปริมาตร 2 ลิตร ที่ใช้น้ำหล่อภายนอก เพื่อควบคุมอุณหภูมิของชุดการทดลอง พนับว่าที่ระยะเวลา ฉายแสง 300 นาที ปฏิกิริยาไฟโตไอลซิสสามารถย่อยสลายก้าชคาร์บอนมอนอกไซด์ได้น้อยมาก โดย เมื่อใช้แหล่งกำเนิดแสงยูวี/o จะมีประสิทธิภาพการนำบัดก้าชคาร์บอนมอนอกไซด์ได้ประมาณ 8% ซึ่งก็ยังมากกว่า เมื่อใช้แสงวิสิเบิลซึ่งจะมีประสิทธิภาพเพียง 5% เท่านั้น แสดงผลการทดลองดังรูปที่

4.3 พบร่วมกับพัฒนาจากแหล่งกำเนิดแสงเพียงอย่างเดียว โดยไม่มีตัวเร่งปฏิกิริยาอยู่ภายในระบบจะมีประสิทธิภาพในการย่อยสลายก๊าซคาร์บอนมอนอกไซด์ได้น้อยมาก



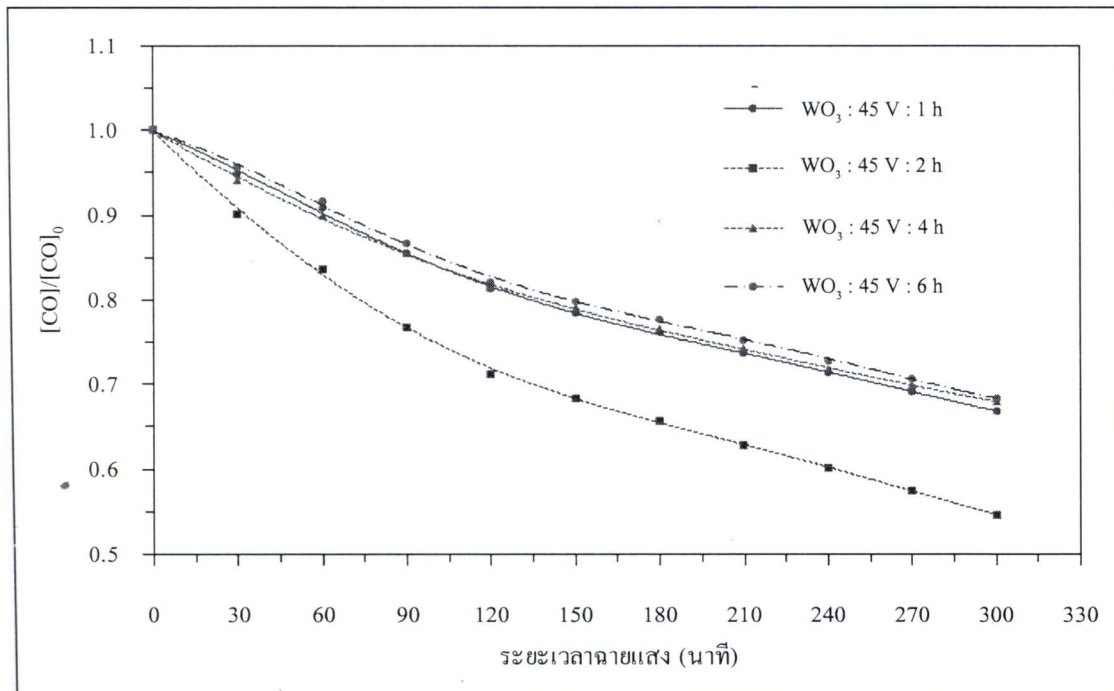
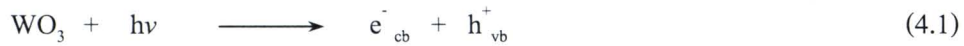
รูปที่ 4.3 ปฏิกิริยาไฟโตไอลซิสเพื่อการนำบัดก๊าซคาร์บอนมอนอกไซด์

#### 4.3 การศึกษาผลของการสังเคราะห์ทั้งสเตนไตรออกไซด์ที่มีต่อการนำบัดก๊าซคาร์บอนมอนอกไซด์ด้วยปฏิกิริยาไฟโตไอลซิส

จากการศึกษาปฏิกิริยาไฟโตไอลซิสเพื่อการนำบัดก๊าซคาร์บอนมอนอกไซด์ โดยใช้แหล่งกำเนิดแสงยูวีเอ (Mercury lamp ขนาด 250 วัตต์) ที่ความยาวคลื่น 365 นาโนเมตร กำหนดค่าความเข้มข้นเริ่มต้นของก๊าซคาร์บอนมอนอกไซด์ที่ 200 พีพีเอ็ม โดยทำการทดลองในโถลกรองปริมาตร 2 ลิตร ที่ใช้น้ำหล่อภายนอก เพื่อควบคุมอุณหภูมิของชุดการทดลอง และใช้ตัวเร่งปฏิกิริยาทั้งสเตนไตรออกไซด์ที่ผ่านการแอลกอฮอล์เชชันในสารละลายโซเดียมฟลูออไรด์ความเข้มข้น 0.15 มิลลิกรัมที่ 45 วินาทีเป็นเวลา 1 2 4 และ 6 ชั่วโมง พื้นที่ตัวเร่งปฏิกิริยาเท่ากับ 20 ตารางเซนติเมตร (ทั้งสเตนไตรออกไซด์จำนวน 5 แผ่น แผ่นละ 4 ตารางเซนติเมตร) พบร่วมกับระยะเวลาฉายแสง 300 นาที ปฏิกิริยาไฟโตไอลซิสสามารถย่อยสลายก๊าซคาร์บอนมอนอกไซด์ได้ 33% 45% 32% และ 32% ตามลำดับ แสดงผลการทดลองดังรูปที่ 4.4 โดยระยะเวลาที่เหมาะสมที่สุดในการเตรียมตัวเร่งปฏิกิริยาทั้งสเตนไตรออกไซด์ด้วยวิธีการแอลกอฮอล์เชชันคือ 2 ชั่วโมง เนื่องจากมีประสิทธิภาพในการย่อยสลายก๊าซคาร์บอนมอนอกไซด์ได้มากที่สุดถึง 45% ซึ่งสอดคล้องกับผลการทดลองก่อนหน้านี้ ที่พบว่าระยะเวลาในการแอลกอฮอล์เชชัน 2 ชั่วโมง จะมีกระแสไฟฟ้าที่เกิดจากการศึกษาด้วย

เซลล์เคมีไฟฟ้าคือที่สุดเท่ากับ 0.103 มิลลิแอมป์เปรต่อตารางเซนติเมตร ส่วนที่ระยะเวลา曝光ในไคลเซ็นที่นานกว่า เช่น 4 และ 6 ชั่วโมง กลับมีประสิทธิภาพการบำบัดกําชาร์บอนมอนอกไซด์ได้ลดลงอย่างชัดเจนจากออกไซด์ที่เกิดขึ้นบนพื้นผิวทั้งสeten มีลักษณะโครงสร้างพรุนขนาดนาโนเมตรที่มีการเรียงตัวกันอย่างไม่เป็นระเบียบ แต่เกิดเป็นความพรุนที่ลับซับซ้อนบนพื้นผิวทั้งสeten จึงเกิดการบดบังแสงกันเองของพื้นผิวออกไซด์บนแผ่นตัวเร่งปฏิกิริยาทั้งสeten ไตรออกไซด์ทำให้มีประสิทธิภาพในการย่อยสลายกําชาร์บอนมอนอกไซด์ในกระบวนการโพโตคอะไไลซิสได้น้อยกว่าเมื่อใช้ทั้งสeten ไตรออกไซด์ที่ถูกเตรียมด้วยระยะเวลา曝光ในไคลเซ็น 2 ชั่วโมง ซึ่งกลไกการย่อยสลายกําชาร์บอนมอนอกไซด์ด้วยปฏิกิริยาโพโตคอะไไลซิส คือเมื่อทั้งสeten ไตรออกไซด์ได้รับพลังงานแสง ( $h\nu$ ) กระตุ้นให้เกิดคู่อิเล็กตรอน และที่ว่างอิเล็กตรอน โดยที่ว่างอิเล็กตรอน ( $h_{vb}^+$ ) ในวาเลนซ์แบบคืนอนุภาคทั้งสeten ไตรออกไซด์ จะทำปฏิกิริยากับไครออกไซด์ไอออน ( $\text{OH}^-$ ) กลายเป็นไครออกซิลเรดิกัล ( $\text{OH}^\cdot$ ) ซึ่งจะสามารถเข้าทำปฏิกิริยาออกซิเดชันกับโมเลกุลของกําชาร์บอนมอนอกไซด์ให้เปลี่ยนรูปกลายเป็นกําชาร์บอนไโดยออกไซด์และไไฮโดรเจนอิออนดังสมการที่

#### 4.1-4.3

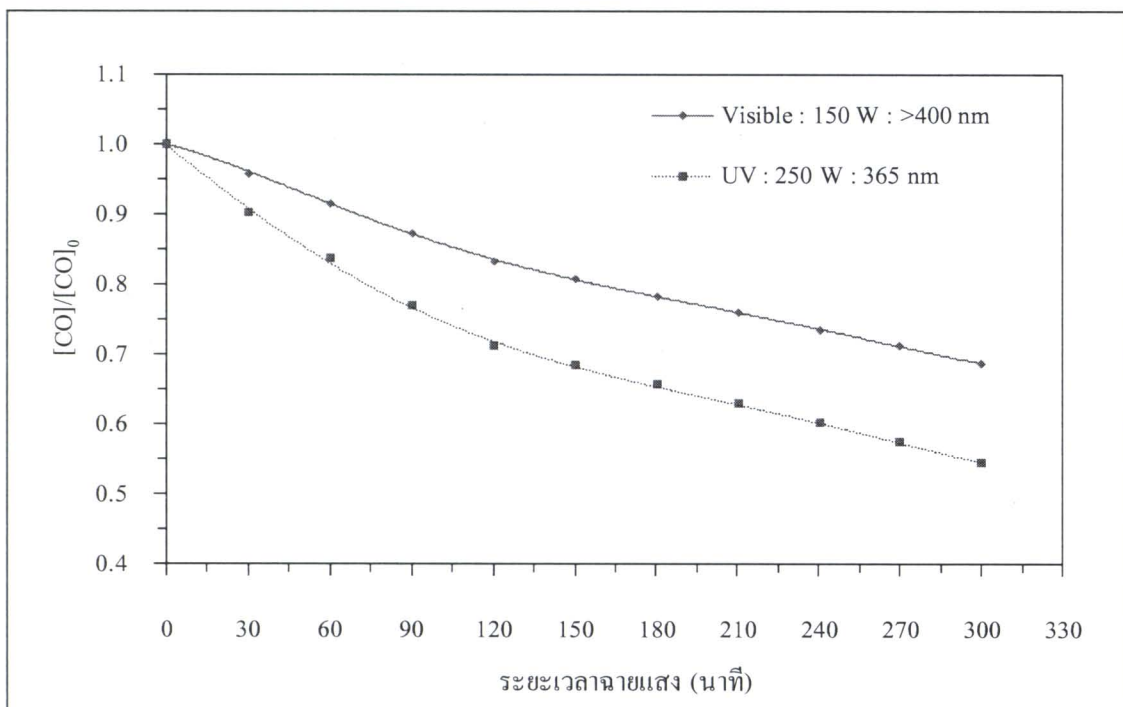


รูปที่ 4.4 ปฏิกิริยาโพโตคอะไไลซิสเพื่อการบำบัดกําชาร์บอนมอนอกไซด์โดยใช้ทั้งสeten ไตรออกไซด์ที่ถูกเตรียมด้วยระยะเวลาที่แตกต่างกัน 1 2 4 และ 6 ชั่วโมง

#### 4.4 การศึกษาผลของแหล่งกำเนิดแสงที่มีต่อการบำบัดก้าชาร์บอนมอนอกไซด์ด้วยปฏิกิริยาฟอโตคเคมีไซส์

ในปัจจุบันมีการศึกษาเพื่อพัฒนาตัวเร่งปฏิกิริยา กันอย่างกว้างขวาง ให้สามารถตอบสนองแหล่งกำเนิดแสงในช่วงความยาวคลื่นแสงวิสิเบิล เนื่องจากพลังงานจากแสงอาทิตย์ซึ่งเป็นแหล่งพลังงานสะอาด และมุนิเวียนเกิดขึ้นเองตามธรรมชาติ ซึ่งมีส่วนประกอบของความยาวคลื่นในช่วงแสงวิสิเบิลมากถึงประมาณ 46% ซึ่งมากกว่าความยาวคลื่นในช่วงญี่วี ซึ่งมีเพียงแค่ 4% เท่านั้น จากการศึกษาปฏิกิริยาฟอโตคเคมีไซส์ที่ผ่านมาใช้ตัวเร่งปฏิกิริยาทั้งสแตนไตรออกไซด์เพื่อบำบัดก้าชาร์บอนมอนอกไซด์ โดยใช้แหล่งกำเนิดแสงญี่วีเอ (Mercury lamp ขนาด 250 วัตต์) ที่ความยาวคลื่น 365 นาโนเมตร พบร่วมมีประสิทธิภาพในการย่อยสลายก้าชาร์บอนมอนอกไซด์ที่ค่าความเข้มข้นเริ่มต้น 200 พีพีเอ็ม ได้ถึง 45% ที่ระยะเวลาฉายแสง 300 นาที แสดงผลการทดลองดังรูปที่ 4.5 และเนื่องจากทั้งสแตนไตรออกไซด์ มีคุณสมบัติในการตอบสนองช่วงความยาวคลื่นแสงได้กว้างครอบคลุมถึงช่วงวิสิเบิล (Chun Song *et al.*, 2010) จึงทดสอบการตอบสนองความยาวคลื่นในช่วงแสงวิสิเบิล (Halogen lamp ขนาด 150 วัตต์) ที่ความยาวคลื่นมากกว่า 400 นาโนเมตรของทั้งสแตนไตรออกไซด์ที่ถูกเตรียมด้วยวิธีแอนไดเซนันในสารละลายโซเดียมฟลูออไรด์ ความเข้มข้น 0.15 มิลลาร์ ที่ 45 วอลต์เป็นเวลา 2 ชั่วโมง พื้นที่ตัวเร่งปฏิกิริยาเท่ากับ 20 ตารางเซนติเมตร (ทั้งสแตนไตรออกไซด์จำนวน 5 แผ่น แผ่นละ 4 ตารางเซนติเมตร) โดยทำการทดลองในโถกรองปริมาตร 2 ลิตรใช้น้ำหล่อภายนอก เพื่อควบคุมอุณหภูมิของชุดการทดลอง เพื่อบำบัดก้าชาร์บอนมอนอกไซด์ที่กำหนดค่าความเข้มข้นเริ่มต้น 200 พีพีเอ็ม พบร่วมที่ระยะเวลาฉายแสง 300 นาที มีประสิทธิภาพในการย่อยสลายก้าชาร์บอนมอนอกไซด์ได้ถึง 31% แสดงดังรูปที่ 4.5 ซึ่งมีประสิทธิภาพน้อยกว่าการใช้ความยาวคลื่นในช่วงญี่วีเอ ซึ่งสามารถอธิบายได้จากสเปกตรัมการดูดกลืน (Absorption spectrum) ของทั้งสแตนไตรออกไซด์จะมีความสามารถในการตอบสนองความยาวคลื่นในช่วงญี่วีได้ดีกว่าช่วงวิสิเบิล (Liu *et al.*, 2010) จึงส่งผลให้ประสิทธิภาพในการย่อยสลายก้าชาร์บอนมอนอกไซด์ในกระบวนการฟอโตคเคมีไซส์ด้วยแสงวิสิเบิลจะมีประสิทธิภาพน้อยกว่าแสงญี่วี แต่อย่างไรก็ตามสามารถเห็นได้อย่างชัดเจนว่า ทั้งสแตนไตรออกไซด์สามารถตอบสนองต่อแหล่งกำเนิดแสงในช่วงวิสิเบิลได้ซึ่งความมีการศึกษาและพัฒนาเพิ่มเติมต่อไปให้มีประสิทธิภาพสูงขึ้น

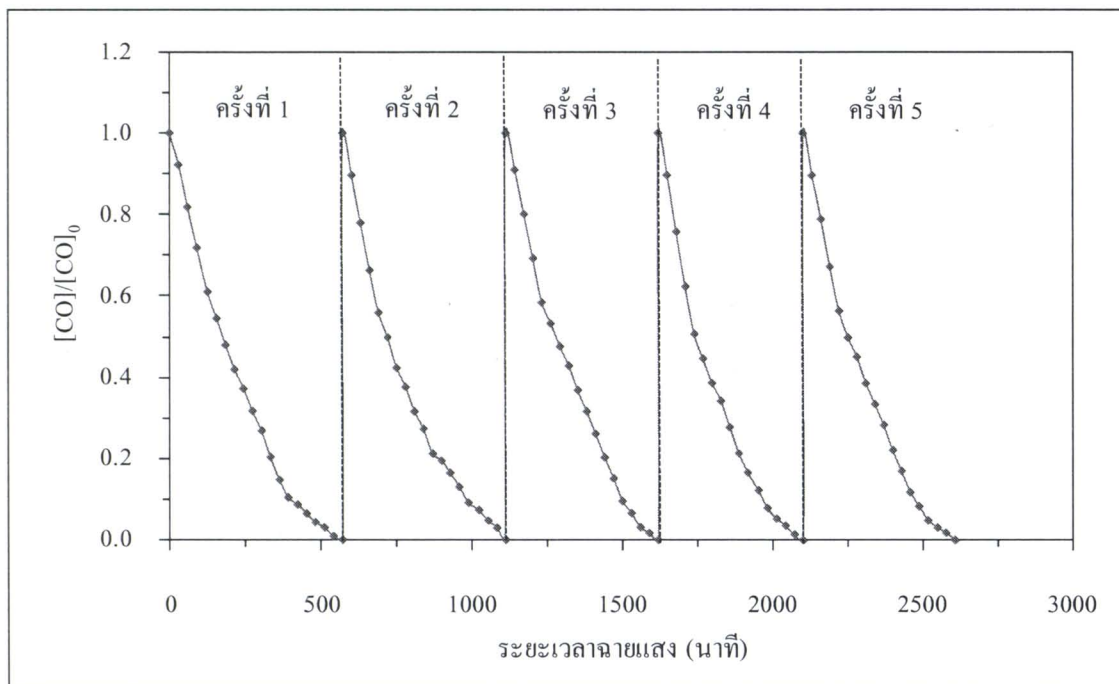




รูปที่ 4.5 ปฏิกริยาไฟโตคัตไลซิสเพื่อการบำบัดก๊าซคาร์บอนมอนอกไซด์ โดยใช้แหล่งกำเนิดที่แตกต่างกัน

#### 4.5 การศึกษาผลของจำนวนรอบที่ใช้ข้างของตัวเร่งปฏิกริยาทั้งสeten ไตรออกไซด์ต่อประสิทธิภาพการบำบัดก๊าซคาร์บอนมอนอกไซด์ด้วยปฏิกริยาไฟโตคัตไลซิส

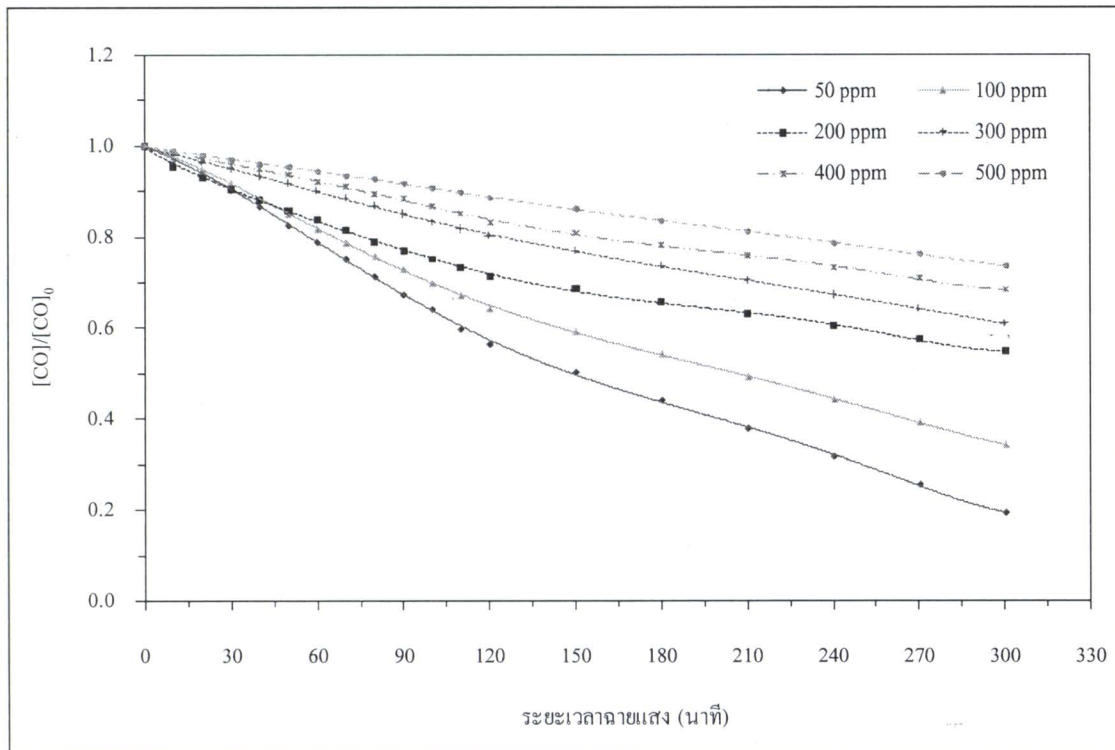
ทดสอบประสิทธิภาพของตัวเร่งปฏิกริยาทั้งสeten ไตรออกไซด์ภายในกระบวนการไฟโตคัตไลซิสที่ผ่านการใช้งานเป็นระยะเวลา นาน โดยทดสอบจากปฏิกริยาไฟโตคัตไลซิสเพื่อการบำบัดก๊าซคาร์บอนมอนอกไซด์ โดยใช้แหล่งกำเนิดแสงยูวีเอ (Mercury lamp ขนาด 250 วัตต์) ที่ความยาวคลื่น 365 นาโนเมตร ทำการทดลองในโถลกรองปริมาตร 2 ลิตร ใช้น้ำหล่อกายนอกเพื่อควบคุมอุณหภูมิของชุดการทดลอง และใช้ตัวเร่งปฏิกริยาทั้งสeten ไตรออกไซด์ที่ผ่านการแอลกอฮอล์เช็ดในสารละลายโซเดียมฟลูออไรด์ความเข้มข้น 0.15 มोลาร์ ที่ 45 วินาทีเป็นเวลา 2 ชั่วโมง พื้นที่ตัวเร่งปฏิกริยาเท่ากับ 20 ตารางเซนติเมตร (ทั้งสeten ไตรออกไซด์จำนวน 5 แผ่น แผ่นละ 4 ตารางเซนติเมตร) กำหนดค่าความเข้มข้นเริ่มนับของก๊าซคาร์บอนมอนอกไซด์ที่ 50 พีพีเอ็ม พบร่วมใช้ระยะเวลาในการฉายแสง เพื่อย่อยสลายก๊าซคาร์บอนมอนอกไซด์จนหมดประมาณ 8-10 ชั่วโมง แล้วทดลองซ้ำทั้งหมด 5 ชั่วโมง โดยใช้ทั้งสeten ไตรออกไซด์แผ่นเดิม แสดงค่าความเข้มข้นของก๊าซคาร์บอนมอนอกไซด์ที่ระยะเวลาการฉายแสงต่างๆ ดังรูปที่ 4.6 รวมใช้ระยะเวลาในการฉายแสงทั้งสิ้นประมาณ 44 ชั่วโมง พบร่วมแผ่นทั้งสeten ไตรออกไซด์ยังมีประสิทธิภาพในการย่อยสลายก๊าซคาร์บอนมอนอกไซด์ เมื่อผ่านการใช้งานมาแล้วหลายครั้ง



รูปที่ 4.6 ผลของจำนวนรอบที่ใช้ช้าของตัวเร่งปฏิกิริยาหังสเตนไตรออกไซด์ต่อประสิทธิภาพการนำบัดก๊าซการ์บอนมอนอกไซด์ด้วยปฏิกิริยาไฟฟอโตคະໄລซິສ

#### 4.6 ค่าจานวนผลศาสตร์ของปฏิกิริยาไฟฟอโตคະໄລซິສเพื่อย่อยสลายก๊าซการ์บอนมอนอกไซด์ด้วยสมการແลงเมียร์-ອินເຊລວຸດ

จากการศึกษาปฏิกิริยาไฟฟอโตคະໄລซິສเพื่อย่อยสลายก๊าซการ์บอนมอนอกไซด์ โดยใช้แหล่งกำเนิดแสงยูวีเอ แปรเปลี่ยนค่าความเข้มข้นเริ่มต้นของก๊าซการ์บอนมอนอกไซด์ที่ 50 100 200 300 400 และ 500 พีพีเอ็ม โดยทำการทดลองในโถลกรองปริมาตร 2 ลิตร ที่ใช้น้ำหล่อภายนอก เพื่อควบคุมอุณหภูมิของชุดการทดลอง และใช้ตัวเร่งปฏิกิริยาหังสเตนไตรออกไซด์ที่ผ่านการแอโนไดเซชันในสารละลายนโซเดียมฟลูออไรด์ความเข้มข้น 0.15 มอลาร์ ที่ 45 ໂວລຕ์เป็นเวลา 2 ชั่วโมง พื้นที่ตัวเร่งปฏิกิริยาเท่ากับ 20 ตารางเซนติเมตร (หังสเตนไตรออกไซด์จำนวน 5 แผ่น แผ่นละ 4 ตารางเซนติเมตร) โดยใช้แหล่งกำเนิดแสงยูวีเอ (Mercury lamp ขนาด 250 วัตต์) ที่ความยาวคลื่น 365 นาโนเมตร พบร่ว่าที่ระยะเวลาเฉลี่ย 300 นาที ปฏิกิริยาไฟฟอโตคະໄລซິສจะสามารถย่อยสลายก๊าซการ์บอนมอนอกไซด์ได้ 81% 66% 45% 39% และ 27% ตามลำดับ แสดงความสัมพันธ์ระหว่างระยะเวลาที่ใช้ในการฉายแสง และความเข้มข้นของก๊าซการ์บอนมอนอกไซด์ดังรูปที่ 4.7

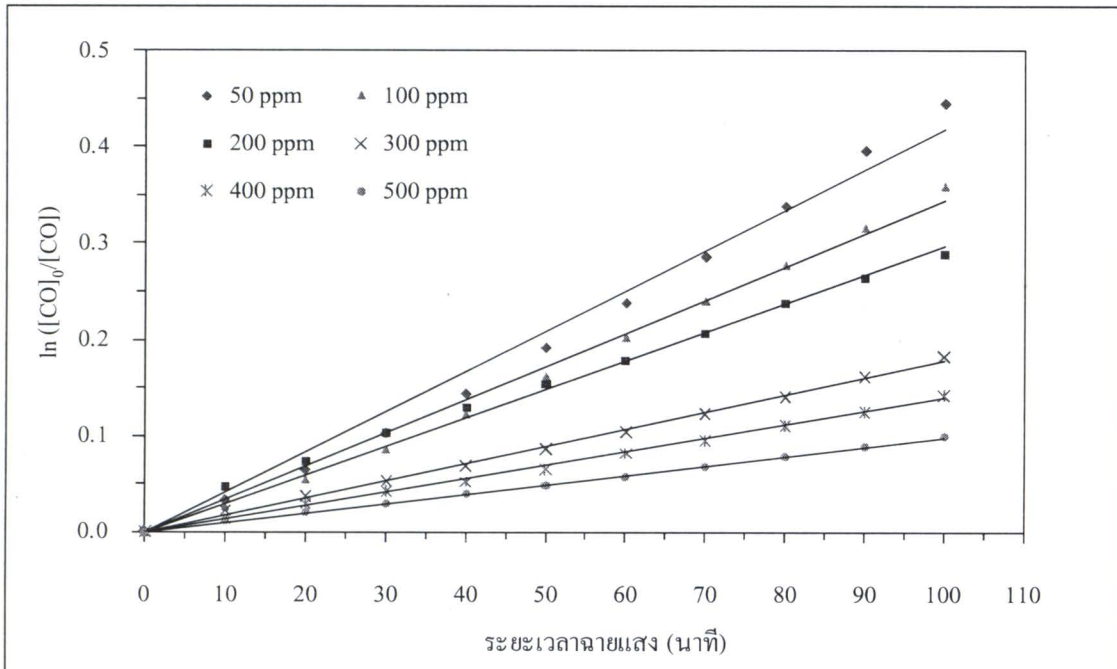


รูปที่ 4.7 ปฏิกิริยาไฟโตแคตตาไลซ์เพื่อการนำบัดก๊าซคาร์บอนมอนอกไซด์โดยกำหนดค่าความเข้มข้นของก๊าซคาร์บอนมอนอกไซด์ที่แตกต่างกัน 50 100 200 300 400 และ 500 พีพีเอ็ม

ปฏิกิริยาไฟโตแคตตาไลซ์สามารถอธิบายอัตราการเกิดปฏิกิริยาได้โดยใช้สมการของปฏิกิริยาอันดับที่ 1 เทียม (Pseudo first-order) (Guettai *et al.*, 2005; Watcharenwong *et al.*, 2008) ดังสมการที่ 4.4 แสดงความสัมพันธ์ระหว่างค่าระยะเวลาที่ใช้ในการถ่ายแสงและค่า  $\ln [CO]_0/[CO]$  ได้ดังรูปที่ 4.8 จะได้กราฟเส้นตรงที่มีความชันเท่ากับค่าคงที่ของอัตราการเกิดปฏิกิริยา ( $k' = k_{app}$ ) ที่มีจุดตัดแกน y ที่จุด (0,0) ซึ่งสามารถคำนวณหาค่า Initial reaction rate ( $r_0$ ) ได้จากสมการที่ 4.5 และแสดงผลการคำนวณดังตารางที่ 4.2 ในการคำนวณนี้เลือกใช้จุดเริ่มต้นในการคำนวณ เพื่อหาค่าคงที่ของสมการ เนื่องจากในระหว่างที่มีการนำบัดก๊าซคาร์บอนมอนอกไซด์ปฏิกิริยาที่เกิดขึ้นบนพื้นผิวหั้งสแตนไตรออกไซด์นั้นมีความซับซ้อนมาก เนื่องจากมีการเกิดปฏิกิริยาการคุกคามและการย่อยสลายไปพร้อมๆ กัน จึงเลือกช่วงที่มีผลกระทบจากปัจจัยอื่นๆ น้อยที่สุด คือช่วงเริ่มต้นของการทดลองที่มีความเป็นไปได้ว่าจะมีค่าเท่ากับค่าความเข้มข้นที่จุดสมดุล จึงเลือกใช้ข้อมูลในการหาค่า  $k_{app}$  ที่ระยะเวลาในการถ่ายแสงที่ช่วงเริ่มต้นเพียงแค่ 100 นาทีแรกเท่านั้นในการคำนวณค่าคงพลาสต์

$$\ln\left(\frac{C_0}{C}\right) = k' t \quad (4.4)$$

$$r_0 = k_{app} \times C_0 \quad (4.5)$$



รูปที่ 4.8 ความสัมพันธ์ระหว่าง  $\ln ([\text{CO}]_0/\text{[CO]})$  และระยะเวลาฉายแสงในการเกิดปฏิกิริยา โพโตเคนต์ไซซิสของก๊าซคาร์บอนมอนอกไซด์ที่ความเข้มข้นต่างๆ กัน

ตารางที่ 4.2 ค่าจานวนศาสตร์ที่ความเข้มข้นเริ่มต้นของก๊าซคาร์บอนมอนอกไซด์ที่แตกต่างกัน

ความเข้มข้นเริ่มต้น (พีพีเอ็ม)	$k_{\text{app}}$ (ต่อนาที)	Initial reaction rate, $r_0$ (พีพีเอ็มต่อนาที)	$1/\text{[C}_0]$	$1/r_0$
50	0.00419	0.209	0.020	4.773
100	0.00344	0.344	0.010	2.907
200	0.00297	0.594	0.005	1.684
300	0.00179	0.537	0.003	1.862
400	0.00139	0.556	0.003	1.799
500	0.00098	0.490	0.002	2.041

จากสมการແลงเมียร์-ชินเซลลุคดังสมการที่ 4.6 สามารถจัดรูปให้สามารถหาความสัมพันธ์ระหว่างค่า  $1/\text{[C}_0$  และค่า  $1/r_0$  ได้ดังสมการที่ 4.7 และรูปที่ 4.9

$$r_0 = -\frac{dC}{dt} = \frac{k_r KC}{1 + KC} \quad (4.6)$$

$$\frac{1}{r_0} = \frac{1}{k_r K} \cdot \frac{1}{C_0} + \frac{1}{k_r} \quad (4.7)$$



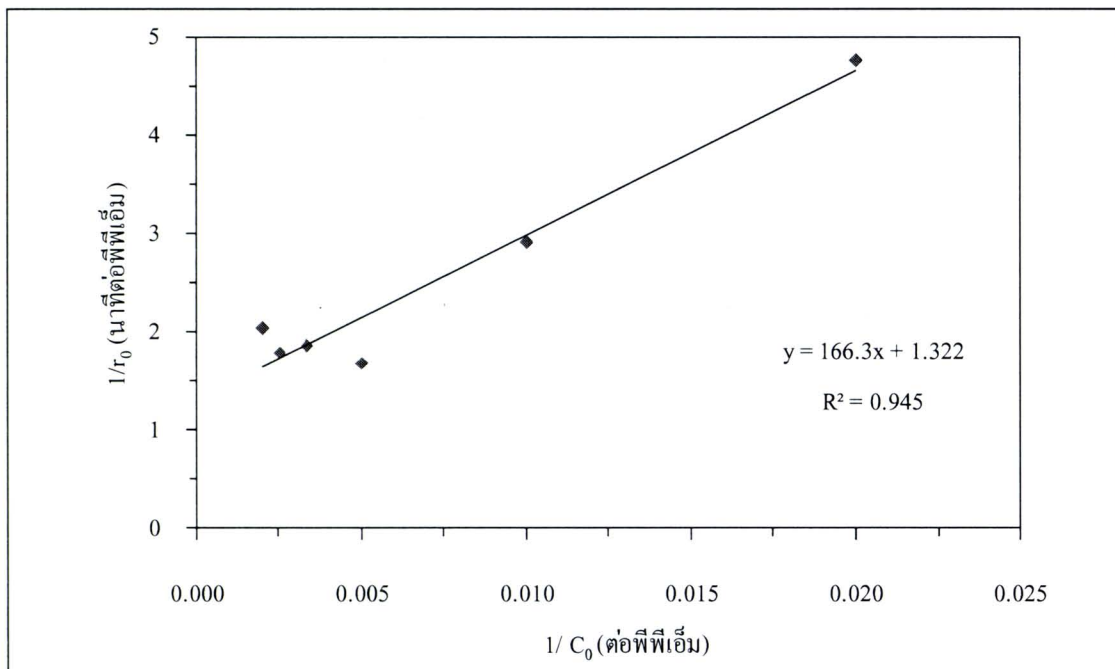
แสดงความสัมพันธ์ระหว่างส่วนกลับของอัตราการเกิดปฏิกิริยา  $\frac{1}{r}$  และส่วนกลับของความเข้มข้นของก๊าซคาร์บอนมอนอกไซด์  $\frac{1}{C_0}$  ได้ดังรูปที่ 4.9 ได้สมการเส้นตรงคือ  $y = 166.3x + 1.322$  มี

ความชันของกราฟคือ  $\frac{1}{k_r K}$  มีค่าเท่ากับ 1.633 และจุดตัดแกน  $y$  คือ  $\frac{1}{k_r}$  มีค่าเท่ากับ 1.322 ซึ่ง

สามารถคำนวณหาค่าคงที่ของอัตราการเกิดปฏิกิริยา ( $k_r$ ) เท่ากับ 0.759 พีพีเอ็มต่อนาที และคำนวณค่าคงที่ของการดูดซับที่สภาวะสมดุล ( $K$ ) เท่ากับ 0.0079 ต่อพีพีเอ็ม ซึ่งเมื่อนำไปเปรียบเทียบกับรายงานการศึกษาอื่นๆ แสดงดังตารางที่ 4.3 ซึ่งพบว่าเมื่อเปรียบเทียบการย่อยสลายก๊าซคาร์บอนมอนอกไซด์ด้วยปฏิกิริยาโพโตแคตالิซิส ระหว่างทั้งสแตนไตรออกไซด์กับไทเทเนียมไดออกไซด์ที่มีลักษณะเป็นฟิล์มบางเหมือนกันจะมีค่าจลนพลศาสตร์ ( $k_r$  และ  $K$ ) มีแนวโน้มไปในทิศทางเดียวกันและใกล้เคียงกันมาก แต่หากเปรียบเทียบกับไทเทเนียมไดออกไซด์ที่มาจากการถ้า (Degussa, P25) จะให้ผลที่แตกต่างกัน โดยจะมีค่าคงที่ของอัตราการเกิดปฏิกิริยา ( $k_r$ ) เท่ากับ 0.176 พีพีเอ็มต่อนาที ซึ่งมีค่าน้อยกว่าจากผลการทดลอง แต่กลับมีค่าคงที่ของการดูดซับที่สภาวะสมดุล ( $K$ ) เท่ากับ 0.893 ต่อพีพีเอ็ม ซึ่งมีค่ามากกว่าเมื่อใช้ทั้งสแตนไตรออกไซด์มาก

ตารางที่ 4.3 เปรียบเทียบค่าจลนพลศาสตร์ที่ได้จากการศึกษาครั้งนี้กับการศึกษาอื่นๆ

รายการอ้างอิง	วิธีการศึกษา	ค่าจลนพลศาสตร์
จากผลการศึกษา	<ul style="list-style-type: none"> <li>ย่อยสลายก๊าซคาร์บอนมอนอกไซด์</li> <li>โดยใช้ทั้งสแตนไตรออกไซด์ชนิดฟิล์มบาง</li> <li>เมื่อใช้แหล่งกำเนิดที่มีความยาวคลื่น 365 นาโนเมตร</li> </ul>	$k_r = 0.759 \text{ ppm min}^{-1}$ $K = 0.0079 \text{ ppm}^{-1}$
Watcharenwong and Tong-un (2012)	<ul style="list-style-type: none"> <li>ย่อยสลายก๊าซคาร์บอนมอนอกไซด์</li> <li>โดยใช้ไทเทเนียมไดออกไซด์ชนิดฟิล์มบาง</li> <li>เมื่อใช้แหล่งกำเนิดที่มีความยาวคลื่น 365 นาโนเมตร</li> </ul>	$k_r = 0.460 \text{ ppm min}^{-1}$ $K = 0.0056 \text{ ppm}^{-1}$
Einaga <i>et al.</i> (2003)	<ul style="list-style-type: none"> <li>ย่อยสลายก๊าซคาร์บอนมอนอกไซด์ให้ glyoxy เป็นคาร์บอนไดออกไซด์</li> <li>โดยใช้ไทเทเนียมไดออกไซด์ (Degussa, P25) ที่ถูกเคลือบอยู่บนแผ่นแก้ว</li> <li>เมื่อใช้แหล่งกำเนิดที่มีความยาวคลื่น 365 นาโนเมตร</li> </ul>	$k_r = 0.176 \text{ ppm min}^{-1}$ $K = 0.893 \text{ ppm}^{-1}$

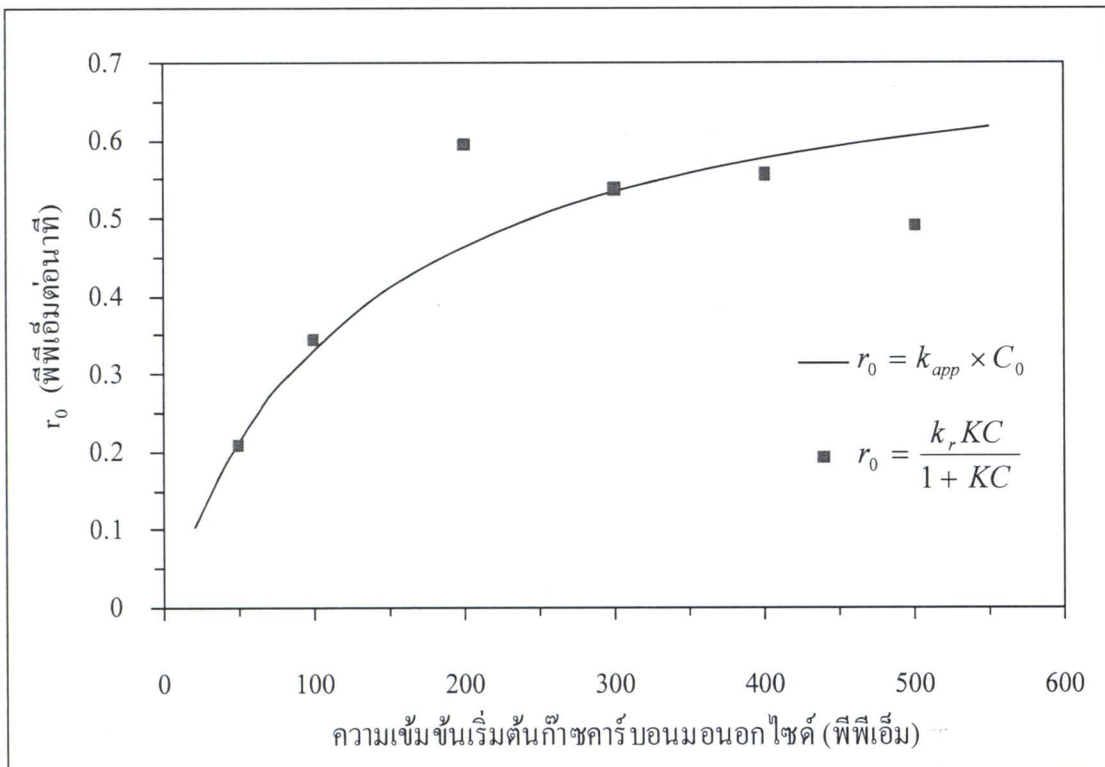


รูปที่ 4.9 ความสัมพันธ์ระหว่าง  $1/C_0$  และค่า  $1/r_0$

แสดงความสัมพันธ์ระหว่างความเข้มข้นเริ่มต้นของก๊าซคาร์บอนมอนอกไซด์ที่ส่งผลกระทบต่ออัตราการเกิดปฏิกิริยาการย่อยสลายก๊าซคาร์บอนมอนอกไซด์ได้ดังรูปที่ 4.10 ซึ่งสามารถตรวจสอบการคำนวณค่าความถี่การแทนค่าคงที่  $k_p$  (0.759 พีพีเอ็มต่อนาที) และ  $K$  (0.0079 ต่อพีพีเอ็ม) ลงในสมการที่ 4.6 แสดงผลการคำนวณดังตารางที่ 4.4 พบว่าสอดคล้องกันเป็นอย่างดีกับค่าที่คำนวณได้จากสมการที่ 4.5 แสดงดังรูปที่ 4.10

ตารางที่ 4.4 ค่าความเข้มข้นเริ่มต้นของก๊าซคาร์บอนมอนอกไซด์ ที่ส่งผลกระทบต่ออัตราการเกิดปฏิกิริยาการย่อยสลายก๊าซคาร์บอนมอนอกไซด์

ความเข้มข้นเริ่มต้นของก๊าซคาร์บอนมอนอกไซด์ (พีพีเอ็ม)	Initial reaction rate, $r_0$ (พีพีเอ็มต่อนาที)
20	0.103
40	0.182
60	0.244
80	0.294
150	0.411
250	0.503
350	0.557
450	0.592



รูปที่ 4.10 ความสัมพันธ์ระหว่างค่าความเข้มข้นเริ่มต้นของกําชการบอนมอนอกไไซด์ ต่ออัตราการบอยสลายปฏิกิริยาโพโตกะตะไลซิส

ระยะเวลาครึ่งชีวิตของปฏิกิริยา ( $t_{1/2}$ ) เป็นอีกหนึ่งวิธีที่นิยมถูกนำมาใช้เพื่ออธิบายอัตราการเกิดปฏิกิริยา โดยคำนวณมาจากสมการที่ 4.6 ได้ดังสมการที่ 4.8

$$t = -\frac{1}{k_r K} \ln \frac{C}{C_0} - \frac{1}{k_r} (C - C_0) \quad (4.8)$$

เมื่อ  $t$  คือระยะเวลาที่ปฏิกิริยาใช้ในการบอยสลายกําชการบอนมอนอกไไซด์ ที่ความเข้มข้นเริ่มต้นคงระทั้งถึงที่ความเข้มข้นใดๆ ดังนั้นที่ระยะเวลาครึ่งชีวิต ( $t_{1/2}$ ) ของปฏิกิริยาจึงแทนค่า  $C = 0.5C_0$  ดังสมการที่ 4.9

$$t_{1/2} = \frac{0.5C_0}{k_r} + \frac{\ln 2}{k_r K} \quad (4.9)$$

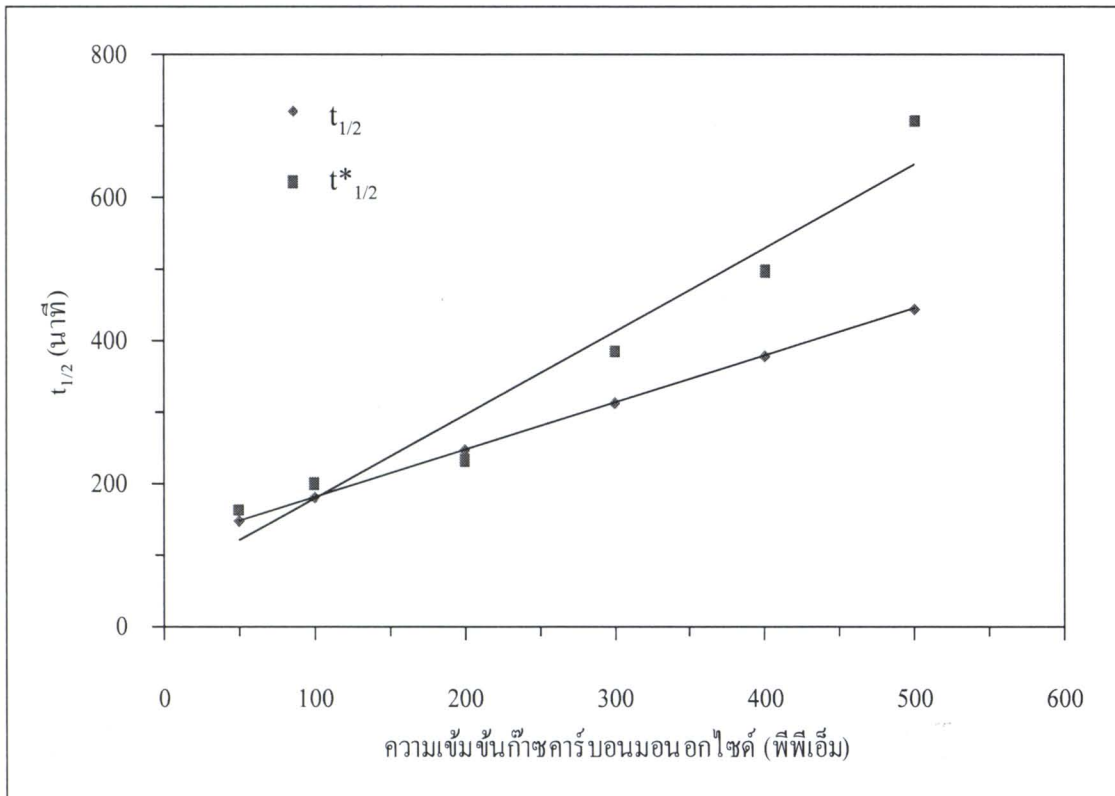
แทนค่า  $k_p$  เท่ากับ 0.759 พีพีเอ็มต่อนาที และค่า  $K$  เท่ากับ 0.0079 ต่อพีพีเอ็ม ลงในสมการที่ 4.9 เพื่อหาค่า  $t_{1/2}$  ของแต่ละค่าความเข้มข้นเริ่มต้นแสดงผลการคำนวณดังตารางที่ 4.5 นอกจากนั้นยังสามารถหาค่าระยะเวลาครึ่งชีวิตของปฏิกิริยาได้จากการอันดับ 1 เพื่อคำนวณหาค่าระยะเวลาครึ่งชีวิตของปฏิกิริยา ( $t^{*}_{1/2}$ ) โดยการแทนค่า  $C = 0.5C_0$  ได้ดังสมการที่ 4.10

$$t^{*}_{1/2} = \frac{\ln 2}{k_{app}} \quad (4.10)$$

แทนค่า  $k_{app}$  ลงในสมการที่ 4.10 เพื่อคำนวณหาค่า  $t^{*}_{1/2}$  แสดงความสัมพันธ์ระหว่างค่าความเข้มข้นเริ่มต้นและ  $t_{1/2}$  ได้ดังรูปที่ 4.11 แสดงการเปรียบเทียบระหว่าง  $t_{1/2}$  และ  $t^{*}_{1/2}$  ดังตารางที่ 4.5 พบว่าที่ความเข้มข้นเริ่มต้นของก๊าซคาร์บอนมอนอกไซด์ต่ำๆ (50 และ 100 พีพีเอ็ม)  $t_{1/2}$  และ  $t^{*}_{1/2}$  จะมีความต่างกันน้อยกว่าที่ความเข้มข้นเริ่มต้นของก๊าซคาร์บอนมอนอกไซด์สูงๆ (200 400 และ 500 พีพีเอ็ม) แสดงให้เห็นว่าสมการที่ 4.9 และ 4.10 สามารถนำมาใช้แทนกันได้ ซึ่งสอดคล้องกับการศึกษาของ Guettai *et al.* (2005) ซึ่งอธิบายว่าความสามารถในการคำนวณหาค่าครึ่งชีวิตสำหรับการย่อยสลายที่ความเข้มข้นเริ่มต้นต่ำๆ ได้แต่ไม่เหมาะสมที่นำมาใช้กับค่าความเข้มข้นเริ่มต้นสูงๆ เนื่องมาจากปฏิกิริยาฟอโตคอะไอลอซิสที่เกิดขึ้นบนพื้นผิวตัวเร่งปฏิกิริยา มีความซับซ้อนมาก มีทั้งปฏิกิริยาคูลชัน และการย่อยสลายก๊าซคาร์บอนมอนอกไซด์ไปพร้อมกัน ที่ค่าความเข้มข้นสูงๆ ซึ่งนีอนุภาคนานนานมากที่ต้องการทำปฏิกิริยานบนพื้นผิวตัวเร่งปฏิกิริยา ทำให้ปฏิกิริยาที่เกิดขึ้นมีความยุ่งยากเกินกว่าที่จะอธิบายได้ด้วยสมการแบบง่าย

ตารางที่ 4.5 เปรียบเทียบ  $t_{1/2}$  และ  $t^{*}_{1/2}$  ที่ความเข้มข้นเริ่มต้นก๊าซคาร์บอนมอนอกไซด์ที่แตกต่างกัน

$C_0$ (ppm)	$t_{1/2}$ (นาที)	$t^{*}_{1/2}$ (นาที)	$\Delta t_{1/2}$ (นาที)
50	148.73	165.40	16.67
100	181.68	201.46	19.78
200	247.58	233.33	14.24
300	313.48	387.16	73.67
400	379.38	498.57	119.18
500	445.28	707.15	261.86



รูปที่ 4.11 ความสัมพันธ์ระหว่างค่าความเข้มข้นเริ่มต้นของก๊าซคาร์บอนมอนอกไซด์ ต่อระยะเวลาครึ่งชีวิตของปฏิกิริยา

ค่าระยะเวลาครึ่งชีวิตของปฏิกิริยาไฟโตไอลซิสที่ใช้เป็นชุดการทดลองควบคุม ซึ่งจะอาศัยหลักการฉายแสงเพียงอย่างเดียว โดยไม่มีตัวเร่งปฏิกิริยาอยู่ภายในระบบ เมื่อนำมาเปรียบเทียบกับปฏิกิริยาไฟโตแคตะไอลซิส ซึ่งจะอาศัยหลักการของตัวเร่งปฏิกิริยาทำงานร่วมกับพลังงานแสง โดยใช้ทั้งสเตนไตรออกไซด์ที่ผ่านการสังเคราะห์ด้วยระยะเวลา 2 ชั่วโมง เมื่อใช้แหล่งกำเนิดแสงยูวีเอ (Mercury lamp ขนาด 250 วัตต์) ที่ความยาวคลื่น 365 นาโนเมตร และมีค่าความเข้มข้นเริ่มต้นก๊าซคาร์บอนมอนอกไซด์เท่ากับ 200 พีพีเอ็ม พบว่าค่า  $t^{*1/2}$  ของปฏิกิริยาไฟโตไอลซิสต้องใช้ระยะเวลานานมากถึง 1084.74 นาที ซึ่งนานกว่าค่า  $t_{1/2}$  ของปฏิกิริยาไฟโตแคตะไอลซิสซึ่งจะต้องใช้ระยะเวลาเพียง 233.33 นาที แสดงให้เห็นได้อย่างชัดเจนว่าทั้งสเตนไทรออกไซด์มีส่วนช่วยให้กระบวนการไฟโตแคตะไอลซิสมีประสิทธิภาพในการบับเบิลก๊าซคาร์บอนมอนอกไซด์ได้เพิ่มมากขึ้น